

5-(3-Aminopropyl)-isoxazole: Synthese und antibakterielle Aktivität einiger Derivate

Gerd Dannhardt^{a)}, Andrea Grobe^{a)}, Steffen Gußmann^{b)},
Richard Obergrusberger^{a)} und Klaus Ziereis^{a)}

^{a)} Institut für Pharmazie der Universität Regensburg, Postfach 397,
D-8400 Regensburg 1

^{b)} Landesuntersuchungsamt für das Gesundheitswesen, Fachbereich Me-
dizin, Außenstelle Regensburg, Landshuterstr. 22, D-8400 Regensburg

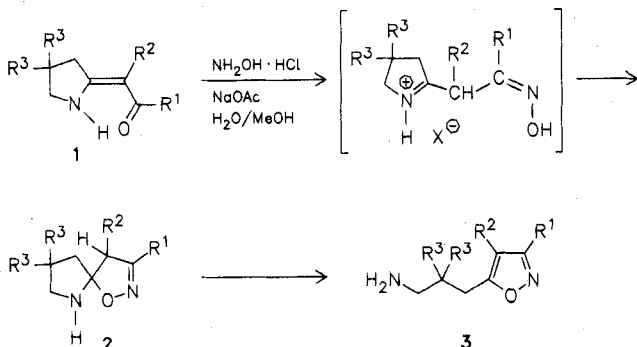
Eingegangen am 15. Juli 1987

Die Umwandlung der Pyrrolidinenaminone **1** in 5-(3-Aminopropyl)-isoxazole **3** gelingt als Eintopfreaktion mit NH₂OH in acetatgepufferter Lösung. Die Strukturen des Isoxazole und der isolierbaren spiroanellierten Intermediate lassen sich durch die spektroskopischen Untersuchungen sichern. Das Wachstum grampositiver und -negativer Keime wird durch einige Guanidinopropyl-isoxazole signifikant gehemmt.

5-(3-Aminopropyl)isoxazoles: Synthesis and Antimicrobial Activities of Some Derivatives

One-pot transformations of the pyrrolidine enaminones **1** into the 5-(3-aminopropyl)isoxazoles **3** are achieved with NH₂OH in an acetate-buffered solution. The isoxazole derivatives as well as the isolated spiro intermediates are characterized by their spectroscopic data. Growth inhibition of grampositive and gramnegative bacteria is observed with some guanidinopropylisoxazole derivatives.

Die Z-s-Z-konfigurierten Enaminone bzw. -thione der Pyrrolidinreihe mit semicyclischer C=C-Bindung¹⁾ sind wertvolle Bausteine zur Darstellung von Thienoazepinen²⁾, Pyrazolen³⁾ bzw. spiroanellierten 4H-Thiopyranen und 4H-Thiocinen⁴⁾.



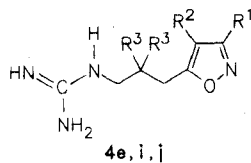
	R ¹	R ²	R ³
a	CH ₃	H	CH ₃
b	t-C ₄ H ₉	H	CH ₃
c	C ₆ H ₅ -CH ₂	H	CH ₃
d	C ₆ H ₅	H	CH ₃
e	p-ClC ₆ H ₄	H	CH ₃
f	p-H ₃ COOC ₆ H ₄	H	CH ₃
g	3-Pyridinyl	H	CH ₃
h	4-Pyridinyl	H	CH ₃
i	p-ClC ₆ H ₄	C ₆ H ₅	H
j	p-ClC ₆ H ₄	p-ClC ₆ H ₄	H
k	4-Pyridinyl	C ₆ H ₅	H
l	4-Pyridinyl	p-ClC ₆ H ₄	H
m	3-Pyridinyl	p-ClC ₆ H ₄	H
n	3-Pyridinyl	p-FC ₆ H ₄	H

Erhitzt man die Enaminone **1** in einer Natriumacetat gepufferten H₂O/MeOH-Mischung (s. exp. Teil) zum Rückfluß, so lassen sich die 5-(3-Aminopropyl)-isoxazole **3** in guten Ausbeuten isolieren. Charakteristisch für die Transformation **1** → **3** ist die ausgeprägte diamagnetische Verschiebung des NH-Signals in den ¹H-NMR-Spektren von etwa 10 nach 1 ppm, das einem bzw. zwei H-Atomen entspricht; das Singulett des C-4-Protons in **3** (R²=H) tritt gegenüber dem Vinyl-H der Enaminone **1** bei tieferem Feld in Resonanz, z. B. **1a**¹⁾/**3a** 5.05 bzw. 5.87 ppm und **1d**¹⁾/**3d** 5.72 bzw. 6.29 ppm. Alle übrigen Daten sind mit der Struktur der Isoxazole **3** in Übereinstimmung (s. exp. Teil). Durch Variation der Reaktionstemperatur gelingt es, ein Intermediat von **3** abzutrennen, dem aufgrund der spektroskopischen Daten die Struktur des Oxadiazaspirononens **2** zukommt. Entscheidend für diese Zuordnung und eine Abgrenzung zum Oxim von **1** sind 2 AB-Systeme bzw. ein entartetes AB-System (d für **2b**, s für **2d**) für die diastereotopen Methylenprotonen an C-4 und C-9 (R²=H) bzw. C-2. Nach Zusatz von Eu(FOD)₃-d₂, zur Benzol-d₆-Lösung treten alle Methylenprotonen, aufgrund von diastereotopen Halbräumen mit nun gleicher chem. Umgebung, als Singulett in Resonanz. Das ¹³C-NMR-Spektrum von **2** zeigt einen signifikanten Tieffeldshift für das sp³-C-Atom nach 106.8 ppm in Analogie zu Brückentropf-sp³-C-Atomen, die ebenfalls von zwei Heteroatomen mit nichtbindenden Elektronenpaaren flankiert werden⁵⁾; daneben werden 6 C-Atome im sp³-Bereich und 5 im sp²-Bereich mit den zu erwartenden Multiplizitäten belegt.

Durch Analyse metastabiler Peaks und hochauflösende Messungen konnten wir zeigen, daß der EI-induzierte ms Zerfall von in der Seitenkette verzweigten Aminopropylisoxazolen, wie z. B. **3a** bzw. **3d**, geprägt wird durch die Abspaltung von H₂C=NH aus M⁺, gefolgt vom C₄H₈-Verlust (56 mu) zum C-5 unsubstituierten Isoxazol, während für die unverzweigten Derivate **3i**/**3l** die Vinylamin-Eliminierung zum base peak führt; daneben findet man für **3i**/**3l** Abspaltung von NH₃ und CH₂NH₂ aus den Molekülien.

Dieses Ergebnis bestätigt den unter²⁻⁴⁾ beschriebenen Verlauf der Transformation der Enaminone **1** über spiroanellierte Zwischenprodukte zu neuen Heterocyclen, in die das Pyrrolidin als C₄N-Baustein gesamthaft oder partiell integriert ist.

Die Überführung von **3** in die zugehörigen Guanidin-Derivate **4** gelingt mit Cyanamid in n-Butanol⁶⁾. Das Wirkungsspektrum gegenüber grampositiven sowie gramnegativen Keimen und die minimalen Hemmkonzentrationen werden im Agardilutionstest (s. exp. Teil) bestimmt. Gemeinsam ist **4e**, **4i** und **4j** die sehr gute bzw. gute bakteriostatische Wirkung gegenüber *Streptococcus pneumonia* und *Haemophilus influenza* bzw. *Staphylococcus aureus*; für die übrigen Prüfkeine – insbesondere die gramnegativen – ist die Bakteriostase weniger ausgeprägt (s. Tab. 1).



Tab. 1: Wirkungsspektrum und MHK (mg/l) der Guanidin-Derivate 4

	4e	4i	4j	Penicillin G
<i>Streptococcus pneumoniae</i>	0.00015	0.00015	0.00015	0.002 – 5.0
<i>Streptococcus pyogenes</i>	0.01	0.005	0.005	0.005 – 0.06
<i>Streptococcus faecalis</i>	0.08	0.08	0.04	0.3 – 12.5
<i>Staphylococcus aureus</i>	0.005	0.005	0.005	0.01 – 625
<i>Citrobacter freundii</i>	>0.08	0.08	0.08	–
<i>Escherichia coli</i>	0.08	0.08	0.08	8 – 4500
<i>Enterobacter cloacae</i>	>0.08	>0.08	>0.08	–
<i>Pseudomonas aeruginosa</i>	>0.08	>0.08	>0.08	12.5 – 1250
<i>Klebsiella</i>	>0.08	>0.08	0.08	2.0 – 360
<i>Haemophilus influenza</i>	0.00015	0.0003	0.00015	0.10 – 4.0

Über das pharmakologische Profil der Aminopropylisoazole sowie die Anwendung der aufgezeigten Ringtransformation auf binukleare Heterocyclen werden wir gesondert berichten.

Dem Fonds der Chemischen Industrie gilt unser Dank für die großzügige Unterstützung unserer Arbeiten. Der Deutschen Forschungsgemeinschaft danken wir für die Bewilligung einer Sachbeihilfe (Da 175/3-1).

Experimenteller Teil

Allgem. Angaben s.²⁾

Allgemeine Arbeitsvorschrift (AAV) zur Darstellung der 5-(3-Aminopropyl)-isoazole 3

Man legt 10 mmol Enaminon **1** in 30 ml Methanol vor und gibt die Lösung von 15 mmol NH₂OH · HCl und 25 mmol Natriumacetat in 20 ml H₂O zu. Der pH-Wert wird überprüft und ggf. auf 5.3–5.8 eingestellt. Falls eine Trübung auftritt, wird soviel Wasser bzw. MeOH zugesetzt bis in der Siedehitze eine klare Lösung vorliegt, die 5 h zum Rückfluß erhitzt wird. Nach dem Abkühlen wird mit 2 N NaOH auf pH = 8.5 eingestellt, Lösungsmittel abdestilliert, der Rückstand in H₂O aufgenommen und mit CH₂Cl₂ sowie Et₂O ausgeschüttelt. Aus den vereinigten org. Phasen iso-

liert man die Aminopropylisoazole und reinigt sie wie angegeben. Ausb. 60–85 %. Die Überführung in die zugehörigen Hydrochloride gelingt in Ethanol mit HCl-gesättigtem Ether, Umkristallisation der **3 · HCl** wie beschrieben.

3,3-Dimethyl-8-tert.butyl-6-oxa-1,7-diazaspiro[4,4]non-7-en (**2b**)

Durchführung analog **2d** (s. u.), Reinigung durch SC (SiO₂, Diisopropylether) und anschließend Sublimation bei 10⁻² Torr/50 °C, Schmp. 81–82 °C, Ausb. 34 %.

C₁₂H₂₂N₂O (210.3). Ber. C 68.5 H 10.54 N 13.3 Gef. C 68.3 H 10.56 N 13.1. – IR: 3320 cm⁻¹ (NH). – UV (MeOH): λ max (log ε) = 207 nm (3.68). – ¹H-NMR: δ (ppm) = 1.10 (s, verbreitert, 15 H, CH₃), 1.81, 2.11 (AB-System, 2 H, J_{AB} = 13.0, Hz, CH₂), 2.22 (s, breit, 1 H, NH, austauschb.), 2.70, 3.01 (AB-System, 2 H, J_{AB} = 9.0 Hz), 2.90 (d = entartetes AB-System, 2 H, CH₂). – MS: m/z (rel. Int.) = 210 (29, M⁺), 195 (14, M – CH₃), 193 (12, M – OH oder NH₃), 178 (5, 195 – OH oder NH₃), 111 (100, C₇H₁₃N).

3,3-Dimethyl-8-phenyl-6-oxa-1,7-diazaspiro[4,4]non-7-en (**2d**)

Abweichend von der AAV für **3** wurden die beiden Lösungen unter Eiskühlung vereinigt und bei pH = 6 dann 12 h bei Raumtemp. gerührt. Man destilliert die Lösungsmittel ab und reinigt den Rückstand durch SC (SiO₂,

Et₂O); **2d** wird eluiert, das in geringerer Menge gebildete Isoxazol **3d** wird nicht desorbiert; Ausb. 58 %, Schmp. 85–86 °C (Ether).

C₁₄H₁₈N₂O (230.3). Ber. C 73.0 H 7.88 N 12.2 Gef. C 72.9 H 7.91 N 12.1. – IR: 3280 (NH), 1600 cm⁻¹ (C=N). – UV (MeOH): λ max (log ε) = 261 (4.13), 208 nm (4.13). – ¹H-NMR: δ (ppm) = 1.14 (s, 3 H, CH₃), 1.22 (s, 3 H, CH₃), 1.92, 2.20 (AB-System, 2 H, J_{AB} = 13.5 Hz, CH₂), 2.47 (s, breit, 1 H, NH, austauschb.), 2.78, 3.08 (AB-System, 2 H, J_{AB} = 9.0 Hz, CH₂), 3.21 (s, 2 H, CH₂), 7.20–7.74 (m, 5 H, aromat.). – ¹³C-NMR: δ (ppm) = 28.15 (q, CH₃ an C-3), 29.45 (q, CH₃ an C-3), 37.95 (s, C-3), 43.40 (t, C-4), 51.64 (t, C-9), 59.31 (t, C-2), 106.80 (s, C-5), 127.38, 128.57, 129.56 (jeweils d, C-2', C-3', C-4', C-5', C-6'), 130.39 (s, C-1'), 156.10 (s, C-8). – MS: m/z (rel. Int.) = 230 (69, M⁺), 229 (12, M – H), 215 (20, M – CH₃), 213 (10, M – OH oder NH₃), 198 (12, 215 – OH oder NH₃), 119 (4, C₆H₅CNO), 111 (100, C₇H₁₃N).

5-(3-Amino-2,2-dimethylpropyl)-3-methyl-isoxazol (**3a**)

3a wird aus Ether umkristallisiert, Schmp. 63–64 °C (farblose Nadeln). C₉H₁₆N₂O (168.2) Ber. C 64.2 H 9.59 N 16.7 Gef. C 63.9 H 9.47 N 16.5. – IR: 3440 (NH), 1630 cm⁻¹ (C=N). – UV (MeOH): λ max (log ε) = 205 nm (3.61). – ¹H-NMR: δ (ppm) = 0.92 (s, 6 H, CH₃), 1.15 (s, breit, 2 H, NH₂, austauschb.), 2.31 (s, 3 H, CH₃), 2.51 (s, 2 H, CH₂), 2.78 (s, 2 H, CH₂), 5.87 (s, 1 H, Vinyl-H). – MS: m/z (rel. Int.) = 168 (33, M⁺), 139 (100, M – HN=CH₂), 124 (34, 139 – CH₃), 83 (90, 139 – C₄H₈).

5-(3-Amino-2,2-dimethylpropyl)-3-tert.butyl-isoxazol (3b)

3b kristallisiert nach der Kugelrohrdest. (10^{-2} Torr, 150 °C), Schmp. 53–54 °C.

$C_{12}H_{22}N_2O$ (210.3) Ber. C 68.5 H 10.54 N 13.3 Gef. C 68.2 H 10.41 N 13.3. – IR: 3440 (NH), 1600 cm⁻¹ (C=N). – UV (3b · HCl, MeOH): λ max (log ϵ) = 214 nm (3.87). – ¹H-NMR: δ (ppm) = 0.92 (s, 6 H, CH₃), 1.30 (s, 9 H, CH₃), 1.37 (s, breit, 2 H, NH₂, austauschb.), 2.47 (s, 2 H, CH₂), 2.56 (s, 2 H, CH₂), 5.88 (s, 1 H, Vinyl-H).

5-(3-Amino-2,2-dimethylpropyl)-3-benzyl-isoxazol (3c)

Umkristallisation von **3c** · HCl aus EtOH/Et₂O, Schmp. 146–147 °C. $C_{15}H_{20}N_2O$ (244.3) Ber. C 73.7 H 8.25 N 11.5 Gef. C 73.6 H 8.21 N 11.3. – IR: 3400 (NH), 1600 cm⁻¹ (C=N). – UV (3c · HCl, MeOH): λ max (log ϵ) = 211 nm (4.16). – ¹H-NMR (3c · HCl): δ (ppm) = 1.04 (s, 6 H, CH₃), 2.76 (s, 2 H, CH₂), 2.85 (s, 2 H, CH₂), 3.92 (s, 2 H, CH₂C₆H₅), 5.84 (s, 1 H, Vinyl-H), 7.10–7.41 (m, 5 H, aromat.), 8.53 (s, breit, 3 H, –NH₃, austauschb.).

5-(3-Amino-2,2-dimethylpropyl)-3-phenyl-isoxazol (3d)

Nach Kugelrohrdest. (10^{-2} Torr, 165 °C) farbloses Öl, das kristallisiert, Schmp. 93–94 °C. $C_{14}H_{18}N_2O$ (230.3) Ber. C 73.0 H 7.88 N 12.2 Gef. C 73.1 H 7.75 N 12.2. – IR: 3420 (NH), 1600 cm⁻¹ (C=N). – UV (3d · HCl, MeOH): λ max (log ϵ) = 240 (4.12), 203 nm (4.33). – ¹H-NMR: δ (ppm) = 0.91 (s, 6 H, CH₃), 1.16 (s, breit, 2 H, NH₂, austauschb.), 2.51 (s, 2 H, CH₂), 2.70 (s, 2 H, CH₂), 6.29 (s, 1 H, Vinyl-H), 7.21–8.00 (m, 5 H, aromat.). – ¹³C-NMR: δ (ppm) = 24.78 (q, 2 CH₃ an C-2'), 35.82 (s, C-2'), 36.14 (t, C-1'), 52.10 (t, C-3'), 100.73 (d, C-4), 126.66, 128.78, 129.66 (jeweils d, C-2–C-6–Aromat), 129.35 (s, C-1–Aromat), 162.07 (s, C-5), 172.02 (s, C-3)). – MS: m/z (rel. Int.) = 230 (16, M⁺), 201 (77, M – HN=CH₂), 186 (13, 201 – CH₃), 145 (100, 201 – C₄H₈).

5-(3-Amino-2,2-dimethyl)-3-p-chlorphenyl-isoxazol (3e)

Schmp. von **3e** · HCl 206–207 °C (EtOH/Et₂O).

$C_{14}H_{17}ClN_2O$ (264.7) Ber. C 63.5 H 6.47 N 10.6 Gef. C 63.4 H 6.42 N 10.5. – IR: 3420 (NH), 1605 cm⁻¹ (C=N). – UV (MeOH): λ max (log ϵ) = 246 (4.27), 206 nm (4.31). – ¹H-NMR (3e · HCl, d₆-DMSO): δ (ppm) = 0.89 (s, 6 H, CH₃), 2.63 (s, 2 H, CH₂), 2.84 (s, 2 H, CH₂), 6.84 (s, 1 H, Vinyl-H), 7.48, 7.83 (AB-System, J_{AB} = 10.5 Hz, 4 H aromat.), 8.29 (s, breit, 3 H, –NH₃, austauschb.).

5-(3-Amino-2,2-dimethylpropyl)-3-p-methoxyphenyl-isoxazol (3f)

3f · HCl wird aus MeOH/Et₂O umkristallisiert, Schmp. 195–196 °C.

$C_{15}H_{20}N_2O_2$ (260.3) Ber. C 69.2 H 7.74 N 10.8 Gef. C 69.1 H 7.62 N 10.6. – IR: 3420 (NH), 1605 cm⁻¹ (C=N). – UV (3f · HCl, MeOH): λ max (log ϵ) = 258 (3.94), 204 nm (4.05). – ¹H-NMR (3f · HCl, d₆-DMSO/CDCl₃): δ (ppm) = 1.10 (s, 6 H, CH₃), 2.79 (s, 2 H, CH₂), 2.93 (s, 2 H, CH₂), 3.83 (s, 3 H, OCH₃), 6.59 (s, 1 H, Vinyl-H), 6.96, 7.75 (AB-System, J_{AB} = 10.5 Hz, 4 H, aromat.), 8.51 (s, breit, 3 H, –NH₃, austauschb.).

5-(3-Amino-2,2-dimethylpropyl)-3-(3-pyridinyl)-isoxazol (3g)

3g wird in **3g** · HCl überführt und aus EtOH/Et₂O umkristallisiert, Schmp. 234–236 °C.

$C_{13}H_{17}N_2O$ (231.3) Ber. C 67.5 H 7.41 N 18.2 Gef. C 67.6 H 7.38 H 18.2. – IR: (3g · HCl): 3100–2600 (NH), 1630 cm⁻¹ (C=N). – UV: λ max (log ϵ) = 233 (3.99), 203 (4.07). – ¹H-NMR: δ (ppm) = 0.97 (s, 6 H, CH₃), 1.17 (s, breit, 2 H, NH₂, austauschb.), 2.53 (s, 2 H, CH₂), 2.80 (s, 2 H, CH₂), 6.40 (s, 1 H, Vinyl-H), 7.33–9.06 (m, 4 H, Pyridin-H).

5-(3-Amino-2,2-dimethylpropyl)-3-(4-pyridinyl)-isoxazol (3h)

Schmp. **3h** · HCl 249–250 °C (EtOH/Et₂O).

$C_{13}H_{17}N_3O$ (231.3) Ber. C 67.5 H 7.41 N 18.2 Gef. C 67.4 H 7.32 N 18.0. – IR: 3430 (NH), 1595 cm⁻¹ (C=N). – UV (3h · HCl, MeOH): λ max (log ϵ) = 228 (4.07), 206 nm (4.14). – ¹H-NMR: δ (ppm) = 0.95 (s, 3 H, CH₃), 1.20 (s, breit, 2 H, NH₂, austauschb.), 2.54 (s, 2 H, CH₂), 2.80 (s, 2 H, CH₂), 6.36 (s, 1 H, Vinyl-H), 7.70, 8.76 (A₂B₂-System, 4 H, Pyridin-H).

5-(3-Aminopropyl)-3-p-chlorphenyl-4-phenyl-isoxazol (3i)

Nach Umkristallisation aus EtOH Schmp. (3i · HCl) 194–195 °C.

$C_{18}H_{17}ClN_2O$ (312.8) Ber. C 69.1 H 5.48 N 8.9 Gef. C 69.1 H 5.40 N 8.8. – IR (3i · HCl): 3420 (NH), 1620 cm⁻¹ (C=N). – UV (3i · HCl, MeOH): λ max (log ϵ) = 275 (4.21), 204 nm (4.35). – ¹H-NMR: δ (ppm) = 1.98–3.41 (m, 2 H, CH₂), 2.52–2.88 (m, 2 H, CH₂), 2.94–3.34 (m, 2 H, CH₂), 7.00–7.51 (m, 9 H, aromat.), 7.85–8.61 (s, breit, 3 H, –NH₃, austauschb.). – MS: m/z (rel. Int.) = 312 (16, M⁺), 295 (56, M – NH₃), 282 (24, M – CH₂NH₂), 259 (100, M – H₂N–CH=CH₂), 268 (80, 269 – H).

5-(3-Aminopropyl)-3,4-di-p-chlorphenyl-isoxazol (3j)

Schmp. (3j · HCl) 166–167 °C (EtOH).

$C_{18}H_{16}Cl_2N_2O$ (347.2) Ber. C 62.2 H 4.64 N 8.1 Gef. C 62.0 H 4.58 N 8.1. – IR (3j · HCl): 3600–3400 (NH), 1640 cm⁻¹ (C=N). – UV (3j · HCl, MeOH): λ max (log ϵ) = 275 (4.22), 205 nm (4.36). – ¹H-NMR (3j · HCl, d₆-DMSO): δ (ppm) = 1.60–1.98 (m, 2 H, CH₂), 2.27–2.98 (m, 4 H, CH₂), 7.21–7.62 (m, 8 H, aromat.), 7.82–8.25 (m, 3 H, –NH₃, austauschb.).

5-(3-Aminopropyl)-4-phenyl-3-(4-pyridinyl)-isoxazol (3k)

3k · HCl wird aus EtOH/Et₂O umkristallisiert, Schmp. 221–222 °C.

$C_{17}H_{17}N_3O$ (279.3) Ber. C 73.1 H 6.13 N 15.0 Gef. C 73.0 H 6.12 N 14.8. – IR (3k · HCl): 3410, 3340 (NH), 1640 cm⁻¹ (C=N). – UV (3k · HCl, MeOH): λ max (log ϵ) = 272 (4.02), 204 nm (4.27). – ¹H-NMR (3k · HCl, d₆-DMSO): δ (ppm) = 1.64–2.05 (m, 2 H, CH₂), 2.50–2.93 (m, 4 H, CH₂), 7.26–7.60 (m, 5 H, aromat.), 7.70, 8.80 (A₂B₂-System, 4 H, Pyridin-H), 8.15 (s, breit, 3 H, –NH₃, austauschb.).

5-(3-Aminopropyl)-4-p-chlorphenyl-3-(4-pyridinyl)-isoxazol (3l)

Schmp. (3l · HCl) 196–197 °C (MeOH/Et₂O).

$C_{17}H_{16}ClN_3O$ (313.8) Ber. C 65.1 H 5.14 N 13.4 Gef. C 65.3 H 5.10 N 13.2. – IR (3l · HCl): 3440–3300 (NH), 1640 cm⁻¹ (C=N). – UV (3l · HCl, MeOH): λ max (log ϵ) = 270 (4.03), 204 nm (4.39). – ¹H-NMR (3l · HCl, d₆-DMSO): δ (ppm) = 1.61–2.15 (m, 2 H, CH₂), 2.52–2.95 (m, 4 H, CH₂), 7.15–9.00 (m, 8 H, aromat. und Pyridin-H), 8.05–8.48 (m, 3 H, –NH₃, austauschb.). – MS: m/z (rel. Int.) = 313 (4, M⁺), 296 (61, M – NH₃), 283 (27, M – CH₂NH₂), 270 (100, M – H₂N–CH=CH₂), 269 (46, 270 – H), 235 (40, 270 – Cl).

5-(3-Aminopropyl)-4-p-chlorphenyl-5-(3-pyridinyl)-isoxazol (3m)

3m · HCl wird aus MeOH/Et₂O umkristallisiert, Schmp. 159–160 °C.

$C_{17}H_{16}ClN_3O$ (313.8) Ber. C 65.1 H 5.14 N 13.4 Gef. C 65.0 H 5.20 N 13.3. – IR (3m · HCl): 3500–3360 (NH), 1635 cm⁻¹ (C=N). – UV (3m · HCl, MeOH): λ max (log ϵ) = 271 (4.04), 227 (4.27), 203 nm (4.38). – ¹H-NMR: δ (ppm) = 1.25 (s, breit, 2 H, NH₂, austauschb.), 1.55–2.01 (m, 2 H, CH₂), 2.61–2.92 (m, 4 H, CH₂), 7.18–8.82 (m, 8 H, aromat. und Pyridin-H).

5-(3-Aminopropyl)-4-p-fluorophenyl-3-(3-pyridinyl)-isoxazol (3n)

3n · HCl, Schmp. 209–210 °C (EtOH).

$C_{17}H_{16}FN_3O$ (297.3) Ber. C 68.7 H 5.42 N 14.1 Gef. C 68.9 H 5.45 N 14.0. – IR (3n · HCl): 3480–3300 (NH), 1615 cm⁻¹ (C=N). – UV (3n · HCl, MeOH): λ max (log ϵ) = 270 (3.73), 204 nm (3.95). – ¹H-NMR (3n ·

HCl, d₆-DMSO): δ (ppm) = 1.65–2.20 (m, 2 H, CH₂), 2.55–3.03 (m, 4 H, CH₂), 7.10–9.00 (m, 8 H aromat. und Pyridin-H), 10.10–10.42 (m, 3 H, -NH₃⁺, austauschb.).

Allgemeine Arbeitsvorschrift (AAV) zur Darstellung der Guanidin-Derivate 4

50 mmol 3 · HCl und 90 mmol Cyanamid werden in 150 ml n-Butanol 30 h zum Rückfluß erhitzt. Das Lösungsmittel wird abdestilliert, der Rückstand wird in 2N NaOH aufgenommen und mehrmals mit Toluol ausgeschüttelt. Aus der org. Phase isoliert man die Guanidine 4 und kristallisiert aus CH₃NO₂ um.

4e: C₁₅H₁₉CIN₄O (306.7) Ber. C 58.7 H 6.24 N 18.3 Gef. C 58.5 H 6.11 N 18.0 – IR: 3390–3000 (NH), 1690, 1640 cm⁻¹ (C=N). – UV (MeOH): λ max (log ε) = 245 (4.26), 204 nm (4.31). – ¹H-NMR (d₆-DMSO): δ (ppm) = 1.02 (s, 6 H, CH₃), 2.85 (s, 2 H, CH₂), 3.03 (s, 2 H, CH₂), 6.74 (s, 1 H, Vinyl-H), 7.51, 7.86 (AB-System, J_{AB} = 9.0 Hz, 4 H aromat.), 7.88–8.50 (m, 4 H, NH). – MS (12 eV): m/z (rel. Int.) = 306 (19, M⁺·), 264 (33, M – CH₂N₂), 235 (100, M – C₂H₅N₃).

4i: C₁₉H₁₉CIN₄O (354.8) Ber. C 64.3 H 5.40 N 15.8 Gef. C 64.4 H 5.25 N 15.6 – IR: 3380–3000 (NH), 1690, 1635 cm⁻¹ (C=N). – UV (MeOH): λ max (log ε) = 274 (4.18), 202 nm (4.34). – ¹H-NMR (d₆-DMSO): δ (ppm) = 1.45–2.01 (m, 2 H, CH₂), 2.39–2.81 (m, 2 H, CH₂), 2.90–3.28 (m, 2 H, CH₂), 6.51–7.61 (m, 13 H, NH und H aromat.).

4j: C₁₉H₁₈Cl₂N₄O (389.2) Ber. C 58.6 H 4.66 N 14.4 Gef. C 58.5 H 4.62 N 14.3. – IR: 3600–3000 (NH), 1685, 1625 cm⁻¹ (C=N). – UV (MeOH): λ max (log ε) = 274 (4.24), 203 nm (4.40). – ¹H-NMR (d₆-DMSO): δ (ppm) = 1.51–1.98 (m, 2 H, CH₂), 2.40–2.81 (m, 2 H, CH₂), 2.92–3.30 (m, 2 H, CH₂), 7.12–7.51 (m, 8 H, aromat.), 7.71–8.10 (m, 4 H, NH).

Untersuchungen zur Bakteriostase in vitro (Agardilutionstest)

Man löst die Guanidine 4 in DMSO (p. a.) und stellt mit dest. Wasser eine geometrische Verdünnungsreihe beginnend bei 0.08 mg/l (Faktor 0.5) in Nähragarplatten (*Müller-Hinton-Medium*) her. Die Platten werden fleckförmig mit den in Tab. 1 genannten Prüfkeimen beimpft, 16 h bei 37 °C bebrütet und die niedrigste Konzentration an 4, die das Auswachsen des Inokulums verhindert, als minimale Hemmkonzentration bestimmt.

Literatur

- 1 G. Dannhardt, Y. Geyer, R. Obergrusberger und K. Ziereis, Chemiker-Ztg. 111, 237 (1987).
- 2 G. Dannhardt und T. Debaerdemaeker, ibid. 111, 310 (1987).
- 3 G. Dannhardt, A. Grobe und R. Obergrusberger, Arch. Pharm. (Weinheim), 320, 582 (1987).
- 4 G. Dannhardt, Y. Geyer, K. K. Mayer und R. Obergrusberger, Arch. Pharm. (Weinheim) 321, 17 (1988).
- 5 G. Dannhardt, A. Grobe und R. Obergrusberger, Arch. Pharm. (Weinheim) 320, 455 (1987).
- 6 G. Dannhardt, K. K. Mayer und J. Sommer, Sci. Pharm. 52, 280 (1984).
- 7 C. E. Braun, J. Am. Chem. Soc. 55, 1281 (1937) und W. Wendelin, Universität Graz, persönliche Mitteilung.
- 8 G. Erhart und H. Ruschig, Arzneimittel, Bd. 4, S. 268, Verlag Chemie, Weinheim 1972.

[Ph 379]